



Rapport Master M1

Master Calcul Haute Performance Simulation (CHPS)

# Reconnaissance des Plantes à l'aide d'un Réseau de Neurones Convolutif

Réalisé par: Aicha Maaoui, Abdeljalil, Mohamed, Farhat, Lydia

Encadré par: Prof. Hugo Bolloré

Janvier 2022

Institut des Sciences et Techniques des Yvelines (ISTY)

# Abstract

La reconnaissance des plantes avec un réseau de neurones, à partir des images données, n'est pas -toujours- une tâche évidente. Ceci est dû au fait qu' :

- Il y a une apparence diversifiée de structures complexes des plantes,
- Le problème de classification est réalisé, dans les majorités des cas, avec un nombre de classes assez élevé.

Le problème de classification des images de plantes est ainsi un problème bien posé, où les classe sont délimitées. Nous avons besoin dans ce cas d'informations sur les l'images pour représenter et identifier l'objet qu'elle contient.

L'objectif de ce projet consiste à la reconnaissance des images de plantes grâce à un réseau de neurones convolutif: On utilise l'algorithme **CNN (Convolutional Neural Network)**.

Initialement, on dispose d'un jeu de données de 3655 images de fleurs, formants 5 classes différentes. Ceci nous permet de faire l'apprentissage d'un classifieur et générer à la fin un model capable de classifier nos images.

Afin de réaliser ce projet, nous avons procédé comme suit:

- Comprendre le fonctionnement des réseaux de neurones en informatique (IA), ainsi que la base de fonctionnement d' un algorithme CNN,
- Travailler sur l'exploration des données afin de déterminer les couches à utiliser dans notre réseau de neurones,
- Etat de l'art des algorithmes de traitement d'image existants dans le domaine de la reconnaissance de plantes,
- Pogramation en utilisant le langage de programmation `c++` pour le classifieur, ainsi

que le langage *Python* pour la structuration des jeux de données.

Les étapes du projet sont structurés à l'aide de *github* dans le dépôt crée avec des *issues*, qui indiquent l'état d'avancement du projet comme illustré dans la figure (1).

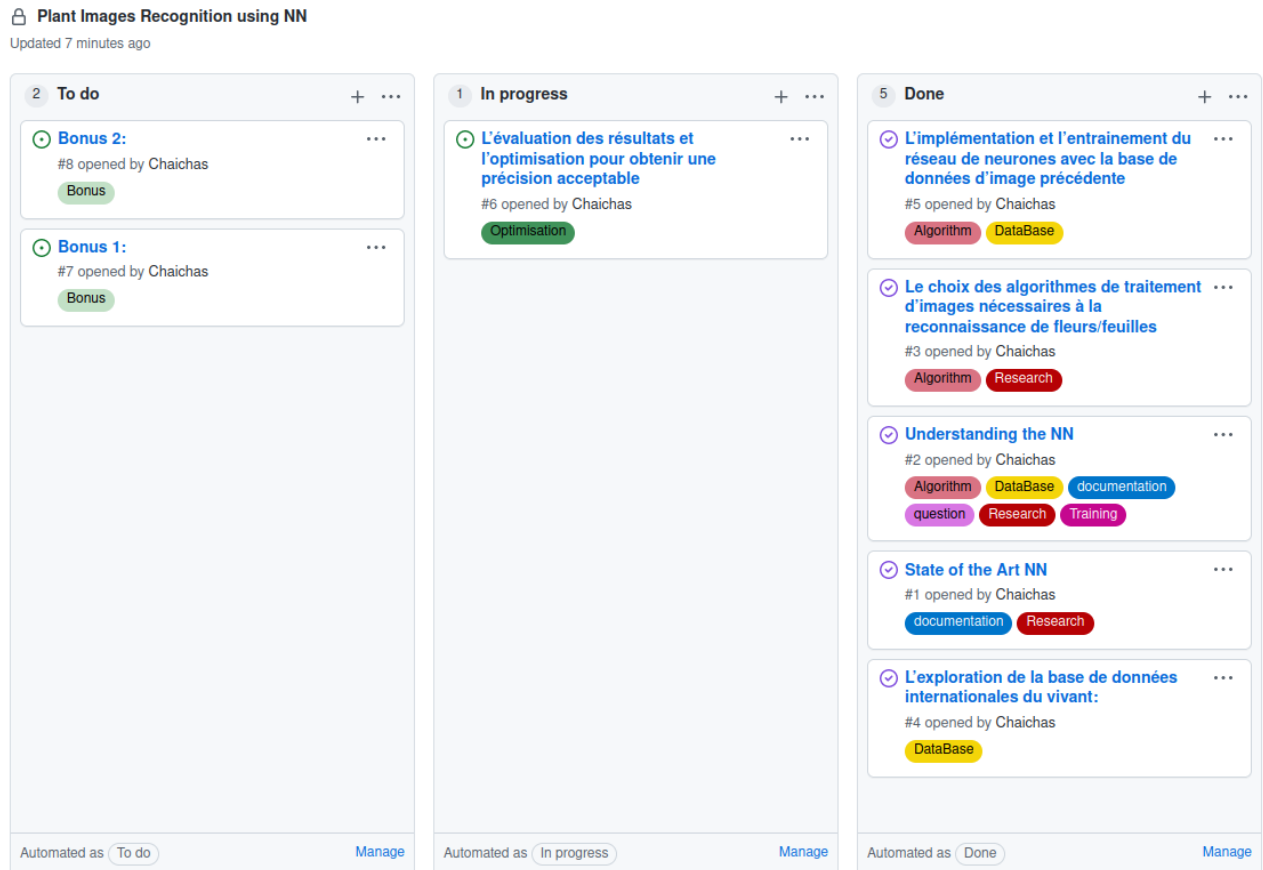


Figure 1: Description de l'état d'avancement du Project CNN.

# Contents

<b>1</b>	<b>Implémentation du CNN</b>	<b>1</b>
1.1	Introduction . . . . .	1
1.2	Description du Réseau de Neurones du Projet . . . . .	3
1.2.1	Description de la base de données . . . . .	3
1.2.2	Description des classes . . . . .	5
1.2.3	Couche de Convolution . . . . .	6
1.2.4	Classe Pooling_layer . . . . .	13
	<b>References</b>	<b>14</b>
<b>A</b>	<b>Appendix Chapter</b>	<b>16</b>

# List of Tables

1.1 Paramètres de la couche de convolution du projet. . . . .	10
---	----

# Listings

# Chapter 1

## Implémentation du CNN

### 1.1 Introduction

Un réseau de neurones est une interprétation machine du cerveau humain, contenant des millions de neurones. Ces derniers transmettent des informations sous forme d'impulsions électriques, *"Deep Neural Network: Qu'est-ce qu'un réseau de neurones profond ?"* 2021.

Ils sont utilisés pour résoudre aux problèmes complexes qui nécessitent des calculs analytiques similaires à ceux du cerveau humain, *"Les Réseaux de Neurones artificiels"* 2018.

On peut citer comme applications les plus courantes des réseaux de neurones, *"Les Réseaux de Neurones artificiels"* 2018:

- **La classification:** C'est la distribution des données par paramètres. Par exemple, on dispose d'un ensemble de personnes à l'entrée. Il faut décider à laquelle d'entre elles on accorde un prêt. Ce processus peut être effectué par un réseau de neurones, en analysant des informations telles que l'âge, la solvabilité, Les antécédents de crédit, etc,
- **La prédiction:** C'est la capacité de prédire la prochaine étape. Par exemple, la hausse ou la baisse d'une action en fonction de la situation du marché boursier,
- **Reconnaissance:** Elle représente actuellement l'utilisation la plus répandue des réseaux de neurones. On cite comme titre d'exemple "Google" lorsqu'on cherche une photo ou dans les appareils photo des téléphones lors de la détection de la position du visage, etc.

### Fonctionnement d'un réseau de neurones:

Un neurone est une unité de calcul qui reçoit des informations, effectue des calculs simples pour les transmettre plus loin. Ils sont divisés en trois types principaux, comme illustré dans la figure (1.1), "Réseaux de Neurones" 2013:

- Entrée ( $X_i$ ), avec les paramètres  $W_i$  (poids) et  $b_j$  (bias),
- Caché ( $F$ ).
- Sortie ( $Y_i$ ).

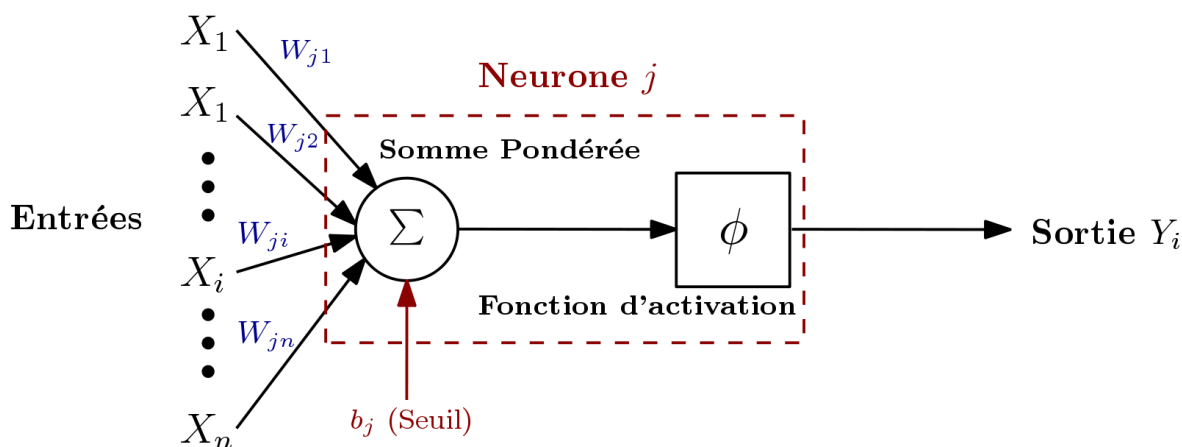


Figure 1.1: Eléments d'un réseau de neurones.

Dans le cas où un réseau de neurones est constitué d'un grand nombre de neurones, on introduit le terme *couche*. Par conséquent, il existe:

- Une couche d'entrée qui reçoit les informations,
- $n$  couches cachées (généralement un max de 3) qui les traitent,
- une couche de sortie qui génère le résultat.

Chacun des neurones a 2 paramètres principaux: (i) les données d'entrée et (ii) les données de sortie.

Lors de l'initialisation du réseau de neurones, les poids  $W_i$  sont attribués d'une manière aléatoire.

La fonction d'activation est un moyen de normaliser les données d'entrée, "Fonction d'activation" 2021. Il existe beaucoup de fonctions d'activation. Cependant, on considère les fonctions basiques : *Linéaire*, *Softmax* et *Sigmoïde (Logistique)*. La principale différence entre ces derniers consiste à la plage de valeurs fournis à la sortie.



## 1.2 Description du Réseau de Neurones du Projet

### 1.2.1 Description de la base de données

Dans cette partie, on se propose de faire l'analyse du travail réalisé sur la partie *Dataset* (Base de données).

#### Collecte des données

Dans un premier temps, on a commencé la collecte des données depuis "*Plantae*" 2020. Cependant, on a rencontré des difficultés, se représentant en:

- Nombres insuffisants d'image pour chaque classe de plantes,
- Complexité des images (beaucoup de détails).

Ce qui ne permet pas de générer un model parfait de reconnaissance d'image. Pour cela, on a considéré les différents jeux de données partagés par des éditeurs dans "*PlantVillage Dataset*" 2020, plus facile à manipuler.

#### Exploration des données

Notre jeux de données se compose des images de fleurs de 5 classes, nommées comme suit:

- Daisy,
- Dandelion,
- Rose,
- Sunflower,
- Tulip.

Pour les images de classes choisies pour les entraîner, il existe des informations perturbatrices, i.e., il y a quelques images qui présentes des insectes perturbants l'unicité des fleurs et ces photos ne représentent qu'une partie du jeux donnés, comme illustré dans la figure (1.2).



Figure 1.2: Présence d'un insecte, qui perturbe l'unicité de la fleur.

Sinon, le jeu de données choisit contient des images adéquates pour générer un model de classification d'image.

### Modifications apportées

Dans le jeux de données collecté depuis le site Kaggle, on trouve l'existence de classes volumineuses, i.e., 984 le maximum d'images de la classe Tulip, et 733 pour le classe de Sunflower.

De plus, les photos ont des tailles très variés. La majorité ont comme dimensions  $200 \times 200$ .

Il était donc important d'ajuster la Dataset utilisée, afin d'avoir un standard avec lequel on peut travailler et générer un model de meilleur performance.

Dans un premier temps, on a redimensionné toutes les photos des classes à une dimension de  $50 \times 50$ , car dans ce cas on aura:

- une conservation de la bonne visualisation (qualité) des images, lues sous forme de matrices carrées réduites,
- Réduction du temps de calcul.

Dans un second temps, on a défini le même nombre d'images associées à chaque classe, pour avoir un jeu de données uniforme.

Pour se faire, on a généré le fichier *resize.py* (en python), qui permet de modifier le jeu de données utilisé pour générer le model.

### 1.2.2 Description des classes

#### Class Data

##### a. OpenCV

*OpenCV* (Open Computer Vision) est une bibliothèque graphique libre, initialement développée par "Intel", spécialisée dans le traitement d'images en temps réel. *OpenCV C++* est livré avec cet incroyable conteneur d'images Mat qui gère tous, "*Lire et afficher une image dans OpenCV en utilisant C++*" 2022, "*OpenCV*" 2022.

La classe Data a pour but de stocker des images comprenant  $50 \times 50$  pixels dans un vecteur 1D en transformant l'images RVB de 3 canaux à 1 canal.

Les valeurs de pixels sont souvent des nombres entiers non signés compris entre 0 et 255.

Bien que ces valeurs de pixels puissent être présentées directement avec modèles de réseaux de neurones dans leur format brut, cela peut entraîner des problèmes lors de l'apprentissage qui sera plus lent que prévu du modèle. Donc il est avantageux de normaliser les valeurs de pixels et de changer la plage  $[0, 255]$ .

Dans notre cas, on a mis à l'échelle les valeurs de pixels dans la plage  $[0.5, 0.5]$ , "*OpenCV*" 2022.

L'image est une matrice représentée par la classe cv: *Mat*.

Chaque élément de la matrice représente un pixel. Pour les images ayant des niveaux de gris, l'élément de matrice est représenté par un nombre de 8 bits non signé (0 à 255). Pour une image couleur au format RVB, il existe 3 de ces nombres, un pour chaque composante de couleur. La fonction utilisé pour lire une image dans opencv est: **imread()**.

Cette fonction permet de lire les images et prend les 2 arguments suivants :

- **Nom de fichier:** L'adresse complète de l'image à charger est de type string,
- **flag:** C'est un argument optionnel et détermine le mode dans lequel l'image est lue. Dans notre code, nous avons utilisé le mode "*CV\_LOAD\_IMAGE\_COLOR*" pour télécharger l'image en couleur.

Les images du jeu de données sont des images RVB à 3 canaux. On a transformé les images de 3 canaux à 1 canal pour faciliter le travail. Pour ce faire, on a utilisé *Cv :: vect3b* dans *opencv* pour stocker les couleurs des pixels.

### Module `Direction_file`

le but du module `Direction` est de récupérer les fichiers (l'image) et son label. Le label indique à quelle famille il appartient.

Le premier chiffre du nom est le label de l'image. Par exemple: "`0img_0.jpg`" représente la classe rose.

Il existe 5 types de fleurs, on a les labels suivantes:

- Tulip (label 0),
- Daisy (label 1),
- Dandelion (label 2),
- Sunflower (label 3),
- Rose (label 4).

Les images de ces fleurs (comptant 3500 images) se trouvent dans le répertoire `DataSet`.

#### 1.2.3 Couche de Convolution

Le but de cette partie est la description de la classe *Convolution\_layer* implémentée dans le code. Généralement, la convolution utilise un ensemble de filtres (formés par des Kernels) pour extraire les caractéristiques (features) d'une image donnée à l'entrée.

Les images en couleur sont représentées par une matrice de pixels. Un pixel se dispose de 3 canaux RGB (Rouge-Vert-Bleu), comme illustré dans la figure (1.3). Chaque filtre doit de même avoir 3 canaux, égal à l'image d'entrée, comme illustré dans la figure (1.4).

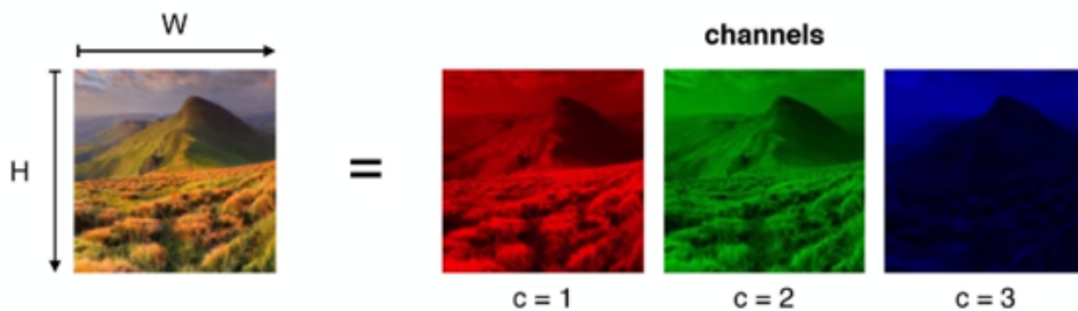
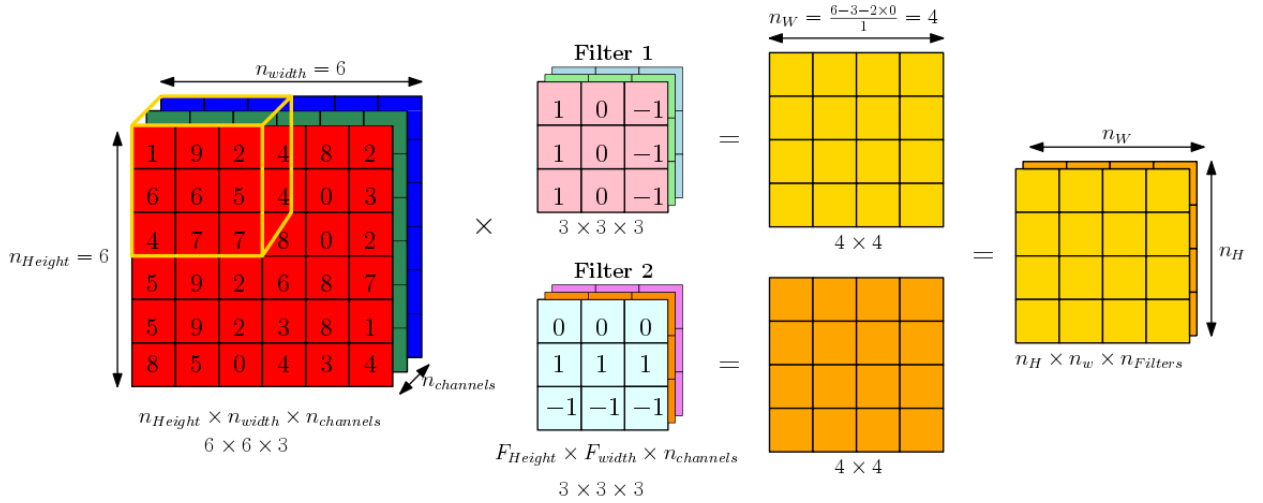


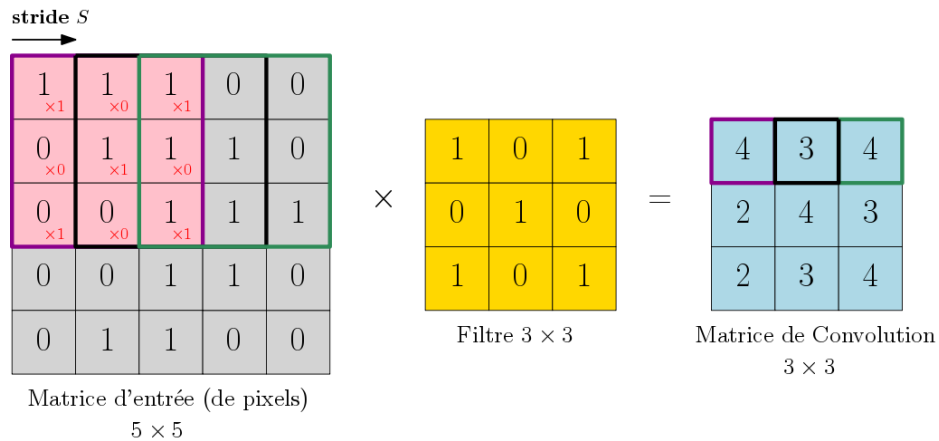
Figure 1.3: Représentation d'une image par 3 canaux RGB.

Figure 1.4: Convolution avec deux filtres, stride  $S = 1$ , padding  $p = 0$ , nombre de canaux = 3.

Initialement, l'image d'entrée est considérée comme un volume de dimension ( $input\_number \times Matrix\_height \times Matrix\_width \times Channels\_number$ ). Après la réduction du nombre de canaux de 3 à 1, chaque image d'entrée sera considérée comme une matrice 2D de dimensions ( $input\_number \times Matrix\_height \times Matrix\_width$ ).

Chaque filtre appliqué aux images d'entrée est un volume de dimension initiale ( $Filter\_height \times Filter\_width \times Channels\_number$ ). Par conséquent, les filtres disposent d'un volume total de ( $Filter\_height \times Filter\_width \times Channels\_number \times Filters\_number$ ). Après réduction de nombre de canaux de 3 à 1, les filtres totaux appliqués à l'image auront comme dimensions ( $Filter\_height \times Filter\_width \times Filters\_number$ ).

La couche de convolution (ou *convolution\_layer*) est la couche de base d'un réseau de neurones convolutif. Elle représente la matrice de valeurs obtenues en sommant les produits entre chaque pixel de l'image et le pixel du filtre. Soit l'exemple illustré dans la figure (2).

Figure 1.5: Matrice de convolution, stride  $S = 1$ , padding  $p = 0$ .

On explique dans ce qui suit les étapes d'obtention de la matrice de convolution, "*Réseau neuronal convolutif*" 2021, "*Convolutional neural network*" 2021.

Paramètres de dimensionnement du volume de la couche de convolution (volume de sortie):

- **1. Filter (or Kernels) size (dimensions du filtre):** indique le nombre de pixels du filtre. A titre d'exemple, le filtre présenté dans la figure (3) est de taille  $3 \times 3$ ,
- **2. Stride (or offset)  $S$  (pas):** indique le déplacement (en nombre de pixels) à chaque itération.

Dans la figure (1.6), on a un stride  $S = 1$ , ainsi chaque filtre est décalé de 1 pixel par rapport au bloc de la matrice d'entrée, auquel il est superposé. Cette procédure est représentée dans la figure (1.7) par les cadres en mauve, noir et vert dans la matrice d'entrée.

- **3. Padding  $p$  (Marge à zéro):** Parfois, dans le but de contrôler la dimension spatiale du volume de sortie, on met des zéros à la frontière du volume de l'image d'entrée.

En revenant à notre exemple illustré dans la figure (1.8), on a  $n = 5$  pixels à l'entrée, le filtre a comme dimension  $f = 3$ . Alors, la matrice de convolution aura comme dimension  $n_1 = n - f + 1 = 3$  (on risque de perdre quelques informations).

Maintenant, si on souhaite obtenir une dimension  $n_1 = 5$  de la matrice de convolution obtenue comme sortie (égale à la dimension d'entrée), et on a une taille fixe du filtre  $f = 3$ , alors on doit chercher  $n$  tel que  $n_1 = 5$ . Dans ce cas, on trouvera  $n = 7$ .

Par conséquent, on ajoute un bloc enveloppant la matrice d'entrée formée par les pixels, comme illustrée dans la figure (1.9). Le but de cette procédure est d'éviter la perte des données en pixels de la matrice d'entrée.

En raison de simplicité de la couche de convolution, on ne considère pas de padding dans notre projet ( $p = 0$ ). Il s'agit d'une "convolution valide".

La dimension du volume de sortie est décrite dans l'équation (1.1).

$$Largeur_{matrice\ sortie} = \frac{Largeur_{matrice\ d'entrée} - Largeur_{filtre} + 2 \times Padding}{Stride} + 1 \quad (1.1)$$

0	0	0	0	0	0	0
0	1	1	1	0	0	0
0	0	1	1	1	0	0
0	0	0	1	1	1	0
0	0	0	1	1	0	0
0	0	1	1	0	0	0
0	0	0	0	0	0	0

Matrice d'entrée (de pixels)  
7 × 7

Figure 1.6: Matrice d'entrée en pixels (avec bloc de 0: Zero padding).

On applique l'équation (1.1) dans notre projet (où la taille de matrice d'entrée est  $50 \times 50$  pixels et le filtre est  $3 \times 3$ ). on aura comme taille de matrice de convolution à la sortie:

$$Largeur_{matrice\ de\ sortie} = \frac{50-3+2 \times 0}{1} + 1 = 50 - 2 = 48 = Largeur_{matrice\ d'entrée} - 2$$

Soit la figure (1.7), illustration du procédure de convolution de ce projet.

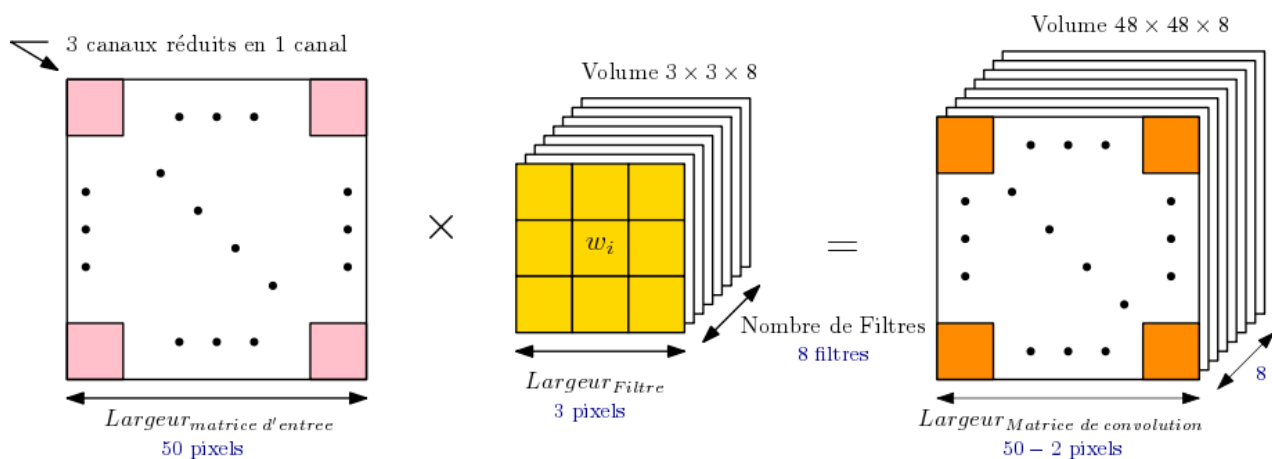


Figure 1.7: Couche de convolution du Projet.

#### Étapes de Convolution:

Pour produire la matrice de convolution à la sortie de la couche, on utilise une image d'entrée et un filtre. Les étapes de convolution de ce filtre avec l'image d'entrée sont:

- Superposition du filte (initialisé avec des valeurs de poids aléatoires) avec l'image d'entrée,

- Multiplication membre-à-membre de pixels dans le filtre et ceux correspondants dans l'image d'entrée,
- Sommation de valeurs obtenus pour un emplacement de filtre donné,
- Répétition de la procédure de convolution pour tous les emplacements du filtre.

Les paramètres utilisés dans le projet de reconnaissance des images de plantes sont regroupés dans le tableau (1.1).

<b>Dimensions de l'image d'entrée</b>	50 × 50
<b>Nombre de canaux de l'image d'entrée</b>	3 (RGB)
<b>Nombre de canaux à l'entrée de <i>Convolution_layer</i></b>	1
<b>Dimensions du filtre</b>	3 × 3
<b>Nombre de filtres utilisés</b>	8
<b>Stride <math>S</math></b>	1
<b>Padding <math>p</math></b>	0

Table 1.1: Paramètres de la couche de convolution du projet.

Le choix du filtre dans le cadre du projet est justifié par le fait qu'un filtre de dimensions impaires et minimales est le plus utilisé, "*Deciding optimal kernel size for CNN*" 2018.

Le nombre total des poids dans les 8 filtres est égal à:  $3 \times 3 \times 8 = 72$  poids.

Le volume de sortie de la matrice de convolution est de dimension  $(48 \times 48 \times 8)$ .

### Classe **Random** pour initialiser les poids du filtre:

Le but de cette partie est la description de la classe *Random\_weights* pour initialiser les poids des filtres appliqués à une image donnée à l'entrée.

#### Generalités:

La première étape de l'utilisation de la méthode de **Gradient Descent** dans est la génération de nombres aléatoires pour les différentes valeurs de filtres utilisés.

On se propose d'utiliser dans cette partie des classes issues de la **bibliothèque standard (STL)** de  $C++$  (Standard Template Library, dont le préfixe est **std::**), "*Programmation Generique, Bibliotheque Standard (STL)*" 2018.

La bibliothèque **Random** de STL permet de générer des variables aléatoires de loi donnée. On se propose d'utiliser la loi de densité de STL, **std::normal\_distribution**.



### Description de `std::normal_distribution` (C++11):

Il s'agit de la génération de nombres aléatoires selon la distribution de nombres aléatoires normale (ou gaussienne), "`std::normal_distribution`" 2021, comme défini dans l'équation (1.2).

$$f(x; \mu, \sigma) = \frac{1}{\sigma\sqrt{2\pi}} \exp \frac{-1}{2} \frac{x - \mu^2}{\sigma} \quad (1.2)$$

avec  $\mu$  est la moyenne de distribution (mean) et  $\sigma$  est l'écart-type (standard deviation (stddev)).

L'utilisation de la distribution normale s'explique par le fait que c'est la génération d'un grand nombre de variables aléatoires indépendantes, suivant une même distribution.

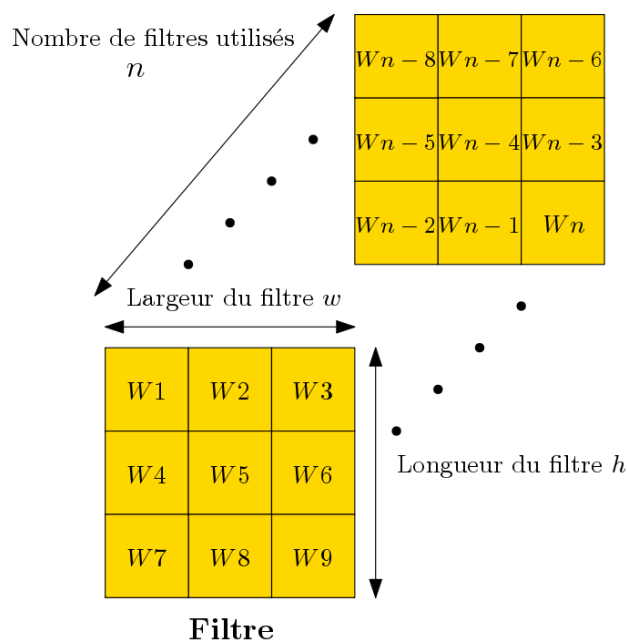


Figure 1.8: Filtres de CNN initialisés par des nombre aléatoires.

D'après la figure (1.8), il est clair que la classe `Random_weights` sera responsable de générer  $(w \times h) \times n$  valeurs aléatoires.

### Description de l'architecture de la classe `Random_weights`:

Dans un premier temps, on utilise ("`std::normal_distribution::(constructor)`" 2021) pour la construction de nombre aléatoires à partir d'une graine (seed) basée sur le temps.

```

1  #include <iostream>
2  #include <chrono>
3  #include <random>
4
5  void Random_weights(double nb_filters , double nb_weights , std::vector<std::vector
    <double>>& nb_tot)
6  {
7      // construct a random generator engine from a time-based seed: Ref{14}
8      unsigned seed = std::chrono::system_clock::now().time_since_epoch().count(); //
        time; system real time
9      std::default_random_engine generator (seed); //random generator engine
10
11     //( result_type mean = 0.0, result_type stddev = 1.0 )
12     std::normal_distribution<double> distribution (0.0,1.0);
13 }

```

Dans un second temps, on remplit les matrices de filtres (array de type vector). On utilise la ligne de code "*number = distribution(generator)*" dans l'exemple donné dans ("*std::normal\_distribution*" 2021) pour remplir un poids d'un filtre considéré. Ainsi, on ajoute deux boucles à la classe Random\_weights définies ci-dessous:

```

1  for(int ii = 0; ii < nb_filters; ii++) //loop on the total number of filters
2  {
3      std::vector<double> one_filter; //array initialisation with no defined size
4      for (int jj = 0; jj < nb_weights; jj++) //nb_weights = filter height * filter
        width
5      {
6          double number = (distribution(generator)); //random number from a random
            generator engine , Ref[13]
7          one_filter.push_back(number); // Filling of 1 filter with random values
8      }
9      nb_tot.push_back(one_filter); //Filling of all filters with random values
10 }

```

On associe à cette classe le code source **Random\_weights.cpp** et l'en-tête **Random\_weights.h**.

### 1.2.4 Classe Pooling\_layer

Le but de cette partie est la description de la classe *Pooling\_layer*, introduite après la classe de convolution et qui vise à réduire les données à partir de la matrice de convolution passée en entrée.

# References

- "*Convolutional neural network*" (2021). Wikipedia. URL: [https://en.wikipedia.org/wiki/Convolutional%5C\\_neural\\_network](https://en.wikipedia.org/wiki/Convolutional%5C_neural_network).
- "*Deciding optimal kernel size for CNN*" (2018). Towards Data Science. URL: <https://towardsdatascience.com/deciding-optimal-filter-size-for-cnns-d6f7b56f9363>.
- "*Deep Neural Network: Qu'est-ce qu'un réseau de neurones profond ?*" (2021). Data Scientist. URL: <https://datascientest.com/deep-neural-network>.
- "*Fonction d'activation*" (2021). Inside Machine Learning. URL: <https://inside-machinelearning.com/fonction-dactivation-comment-ca-marche-une-explication-simple/>.
- "*Les Réseaux de Neurones artificiels*" (2018). Juri' Predis. URL: <https://www.juripredis.com/fr/blog/id-19-demystifier-le-machine-learning-partie-2-les-reseaux-de-neurones-artificiels>.
- "*Lire et afficher une image dans OpenCV en utilisant C++*" (2022). Acervo Lima. URL: <https://fr.acervolima.com/lire-et-afficher-une-image-dans-opencv-en-utilisant-c/>.
- "*OpenCV*" (2022). Acervo Lima. URL: <https://fr.wikipedia.org/wiki/OpenCV>.
- "*Plantae*" (2020). gbif. URL: <https://www.gbif.org/species/6>.
- "*PlantVillage Dataset*" (2020). Kaggle. URL: <https://www.kaggle.com/abdallahalidev/plantvillage-dataset>.
- "*Programmation Generique, Bibliotheque Standard (STL)*" (2018). Université de Sorbonne. URL: <https://www.lpsm.paris/pageperso/roux/enseignements/1819/ifma/chap05.pdf>.

"*Réseau neuronal convolutif*" (2021). Wikipedia. URL: [https://fr.wikipedia.org/wiki/R%C3%A9seau\\_neuronal\\_convolutif](https://fr.wikipedia.org/wiki/R%C3%A9seau_neuronal_convolutif).

"*Réseaux de Neurones*" (2013). Statistic. URL: <http://www.statsoft.fr/concepts-statistiques/reseaux-de-neurones-automatisees/reseaux-de-neurones-automatisees.htm#.YdV2udso9H>.

"*std::normal\_distribution::(constructor)*" (2021). cplusplus. URL: [https://www.cplusplus.com/reference/random/normal\\_distribution/normal\\_distribution/](https://www.cplusplus.com/reference/random/normal_distribution/normal_distribution/).

"*std::normal\_distribution*" (2021). cppreference. URL: [https://en.cppreference.com/w/cpp/numeric/random/normal\\_distribution](https://en.cppreference.com/w/cpp/numeric/random/normal_distribution).

"*std::normal\_distribution*" (2021). cplusplus. URL: [http://www.cplusplus.com/reference/random/normal\\_distribution/](http://www.cplusplus.com/reference/random/normal_distribution/).

## Appendix A

# Appendix Chapter

Le Projet est déposé dans le dépôt git "**Reconnaissance-de-Plantes-avec-NN**". Le code SSH de ce dépôt est le suivant:

**git@github.com:Chaichas/Reconnaissance-de-Plantes-avec-NN.git**